



Od 1 kwietnia 2000 r. posiadamy  
certyfikat akredytacji nr AB 286  
wydany przez Polskie Centrum  
Akredytacji.

W ramach zakresu akredytacji  
wykonujemy:

- pomiary pola elektromagnetycznego (pole elektryczne, pole magnetyczne, gęstość mocy) w środowisku i w środowisku pracy w zakresie częstotliwości od 0 Hz do 90 GHz,
- pomiary hałasu w środowisku pracy,
- pomiary hałasu w budynkach mieszkalnych, zamieszkania zbiorowego i użyteczności publicznej,
- pomiary drgań:
  - o ogólnym działaniu na organizm człowieka,
  - działających na organizm człowieka przez kończyny górne,
- pomiary promieniowania optycznego nielaserowego, w ramach pomiaru przeprowadzamy dodatkowo pełną analizę skuteczności osłon na stanowisku,
- pomiary promieniowania laserowego,
- pomiary natężenia i równomierności oświetlenia na stanowisku pracy,
- pomiary oświetlenia ewakuacyjnego i awaryjnego,
- pobieranie próbek powietrza w celu oceny narażenia zawodowego na: pyły przemysłowe (frakcja wdychalna + respirabilna).
- testy specjalistyczne medycznej aparatury rentgenodiagnostycznej w zakresie:
  - radiografii ogólnej,
  - stomatologii,
  - mammografii,
  - fluoroskopii i angiografii,
  - tomografii komputerowej,
  - monitorów do prezentacji obrazów medycznych.

Ponadto poza zakresem akredytacji  
wykonujemy:

- testy akceptacyjne medycznej aparatury rentgenodiagnostycznej,
- pomiary dozymetryczne osłon stałych,
- pomiary rozkładu mocy dawki wokół aparatów RTG,
- pomiary dawek referencyjnych w rentgenodiagnostyce,
- projekty pracowni RTG wraz z obliczaniem osłon stałych,
- szkolenia z zakresu wykonywania testów podstawowych,
- opracowania dokumentacji Systemu Jakości w pracowniach RTG.

## SPRAWOZDANIE

NR PP-PS/23-11-22

Z POMIARÓW PÓL ELEKTROMAGNETYCZNYCH  
WYKONANYCH W ŚRODOWISKU  
W OTOCZENIU INSTALACJI RADIOKOMUNIKACYJNEJ  
**GZB0231A**

### MIEJSCE ZAINSTALOWANIA ŹRÓDEŁ:

- województwo: **śląskie**,
- miejscowość: **BYTOM**,
- **Szyby Rycerskie dz. nr 164/20.**

### DANE DOTYCZĄCE ZLECENIODAWCY I WŁAŚCICIELA:

- DATA PRZYJĘCIA ZLECENIA DO POMIARÓW: 23.11.2023r.
- ZLECENIODAWCA: P4 Sp. z o. o., ul. Zabrska 17, Budynek A1 (piętro 13), 40-083 Katowice.
- PRZEDSTAWICIEL WŁAŚCICIELA: Pani Sylwia Adamczyk.
- WŁAŚCICIEL: P4 Sp. z o. o., ul. Zabrska 17, Budynek A1 (piętro 13), 40-083 Katowice.

DATA POMIARÓW: 24.11.2023r., 09<sup>20</sup> ÷ 10<sup>15</sup>.

PRZEGLĄD WYNIKÓW, WYDANIE i AUTORYZACJA SPRAWOZDANIA Z BADAŃ: mgr inż. Artur Zając



Bez pisemnej zgody Dyrektora Ośrodka sprawozdanie z pomiarów nie może być kopiowane inaczej jak tylko w całości.  
Wyniki przedstawione w niniejszym sprawozdaniu z pomiarów odnoszą się wyłącznie do badanego obiektu i do warunków w dniu wykonania pomiarów.  
Laboratorium odpowiada za wszystkie informacje przedstawione w niniejszym sprawozdaniu, poza informacjami dostarczonymi przez klienta.

## 1. DANE POZYSKANE OD KLIENTA:

### 1.1. Dane techniczne dotyczące instalacji radiokomunikacyjnej.

Tabela 1.1. Parametry instalacji radiokomunikacyjnej.

| Charakterystyka promieniowania  |               |                        |            | kierunkowa   |                |                          |                     |               |               |
|---------------------------------|---------------|------------------------|------------|--|----------------|--------------------------|---------------------|---------------|---------------|
| Rzeczywisty czas pracy [h/dobę] |               |                        |            | Całodobowa 24h                                     |                |                          |                     |               |               |
| Warunki pracy                   |               |                        |            | Znamionowe   |                |                          |                     |               |               |
| Rodzaj wytwarzanego pola        |               |                        |            | stacjonarne  |                |                          |                     |               |               |
| Lp.                             | Typ nadajnika | Antena Producent / Typ | Azymut [°] | Wysokość<br>środką elektr.<br>anteny<br>[m n.p.t.] | Pasmo<br>[Mhz] | Kąt<br>nachylenia<br>[°] | EIRP dla anteny [W] | LON           | LAT           |
| 1                               | DBS3xxx/5xxx  | Huawei ATR4518R6       | 0          | 38   | 800            | 0 - 10                   | 11723               | 18°55'01.19"E | 50°19'49.80"N |
|                                 | DBS3xxx/5xxx  |                        |            |  | 2600           | 0 - 10                   |                     | 18°55'01.19"E | 50°19'49.80"N |
|                                 | DBS3xxx/5xxx  |                        |            |  | 900            | 0 - 10                   |                     | 18°55'01.19"E | 50°19'49.80"N |
| 2                               | DBS3xxx/5xxx  | Huawei ATR4518R6       | 0          | 38   | 1800           | 0 - 10                   | 12852               | 18°55'01.19"E | 50°19'49.80"N |
|                                 | DBS3xxx/5xxx  |                        |            |  | 2100           | 0 - 10                   |                     | 18°55'01.19"E | 50°19'49.80"N |
|                                 | DBS3xxx/5xxx  |                        |            |  | 800            | 0 - 10                   |                     | 18°55'01.19"E | 50°19'49.80"N |
| 3                               | DBS3xxx/5xxx  | Huawei ATR4518R6       | 120        | 38   | 2600           | 0 - 10                   | 11723               | 18°55'01.19"E | 50°19'49.80"N |
|                                 | DBS3xxx/5xxx  |                        |            |  | 900            | 0 - 10                   |                     | 18°55'01.19"E | 50°19'49.80"N |
|                                 | DBS3xxx/5xxx  |                        |            |  | 1800           | 0 - 10                   |                     | 18°55'01.19"E | 50°19'49.80"N |
| 4                               | DBS3xxx/5xxx  | Huawei ATR4518R6       | 120        | 38   | 2100           | 0 - 10                   | 12852               | 18°55'01.19"E | 50°19'49.80"N |
|                                 | DBS3xxx/5xxx  |                        |            |  | 800            | 0 - 10                   |                     | 18°55'01.19"E | 50°19'49.80"N |
|                                 | DBS3xxx/5xxx  |                        |            |  | 2600           | 0 - 10                   |                     | 18°55'01.19"E | 50°19'49.80"N |
| 5                               | DBS3xxx/5xxx  | Huawei ATR4518R6       | 240        | 38   | 900            | 0 - 10                   | 11723               | 18°55'01.19"E | 50°19'49.80"N |
|                                 | DBS3xxx/5xxx  |                        |            |  | 1800           | 0 - 10                   |                     | 18°55'01.19"E | 50°19'49.80"N |
|                                 | DBS3xxx/5xxx  |                        |            |  | 2100           | 0 - 10                   |                     | 18°55'01.19"E | 50°19'49.80"N |
| 6                               | DBS3xxx/5xxx  | Huawei ATR4518R6       | 240        | 38   | 800            | 0 - 10                   | 12852               | 18°55'01.19"E | 50°19'49.80"N |
|                                 | DBS3xxx/5xxx  |                        |            |  | 2600           | 0 - 10                   |                     | 18°55'01.19"E | 50°19'49.80"N |
|                                 | DBS3xxx/5xxx  |                        |            |  | 900            | 0 - 10                   |                     | 18°55'01.19"E | 50°19'49.80"N |

Tilt ustawiony na czas pomiaru, jest wartością średnią z zakresu tiltów podanych w tabeli z parametrami instalacji radiokomunikacyjnej.

Tabela 1.2. Parametry radiolinii:

| Charakterystyka promieniowania  |                  |                           |                     | kierunkowa       |                     |            |                        |               |               |
|---------------------------------|------------------|---------------------------|---------------------|------------------|---------------------|------------|------------------------|---------------|---------------|
| Rzeczywisty czas pracy [h/dobę] |                  |                           |                     | 24               |                     |            |                        |               |               |
| Rodzaj wytwarzanego pola        |                  |                           |                     | stacjonarne      |                     |            |                        |               |               |
| Linia radiowa                   |                  |                           |                     | Antena           |                     |            |                        |               |               |
| Lp.                             | Typ nadajnika    | Częstotliwość pracy [GHz] | Moc wyjściowa [dBm] | Typ/producent    | Średnica anteny [m] | Azymut [°] | Wysokość zainstal. [m] | LON           | LAT           |
| 1                               | OPTIX RTN/HUAWEI | 80                        | 19                  | 0.3-80(VHLP1-80) | 0,3                 | 2          | 38                     | 18°55'01.19"E | 50°19'49.79"N |
| 2                               | OPTIX RTN/HUAWEI | 80                        | 19                  | 0.3-80(VHLP1-80) | 0,3                 | 186        | 38                     | 18°55'01.19"E | 50°19'49.79"N |

## 2. CHARAKTERYSTYKA BADANEGO OBIEKTU.

Anteny sektorowe i anteny paraboliczne zamontowano na wieży. Urządzenia nadawczo – odbiorcze zainstalowane są w zewnętrznej szafie typu outdoor i przy antenach w systemie rozproszonym. Instalacja radiokomunikacyjna znajduje się na terenie ogrodzonym. W otoczeniu źródeł pól-EM będących przedmiotem pomiarów znajdują się tereny przemysłowe i nieużytki.

W otoczeniu badanego obiektu stwierdzono obecność obcych źródeł pola-EM, które mogą wpływać na wynik wartości mierzonej (na podstawie obserwacji miejsca w którym wykonywano pomiary oraz danych pochodzących z <https://wyszukiwarka.uke.gov.pl>).

W czasie wykonywania pomiarów wszystkie wymienione w tabeli nr 1.1 i 1.2 anteny pracowały.

Dane zawarte w tabelach nr 1.1 i 1.2 oraz dane o miejscu zainstalowania źródeł pochodzą z informacji uzyskanych od przedstawiciela Właściciela, za które laboratorium nie ponosi odpowiedzialności, mogące mieć wpływ na ważność wyników.

Wyniki pomiarów ważne są tylko dla takiej konfiguracji urządzeń nadawczych, ich liczby i ich parametrów, anten i ich parametrów oraz istniejących instalacji i elementów wyposażenia pomieszczeń, jakie były w czasie wykonywania pomiarów.

Pomiary wykonano również w miejscach, w których, na podstawie uprzednio przeprowadzonych obliczeń, stwierdzono występowanie w danych zakresach częstotliwości pól elektromagnetycznych poziomy zbliżone do poziomów dopuszczalnych, określonych w przepisach wydanych na podstawie art. 122 ustw. 1 ustawy z dnia 27 kwietnia 2011r.-Prawo Ochrony Środowiska.

Warunki środowiskowe panujące podczas pomiarów zostały przedstawione w tabeli nr 2.

Ogólny widok instalacji radiokomunikacyjnych przedstawiono w załączniku nr 1.

## 3. DANE DOTYCZĄCE BADAŃ.

3.1. Celem pomiarów pól elektromagnetycznych w otoczeniu instalacji radiokomunikacyjnej będącej przedmiotem pomiarów jest sprawdzenie dotrzymania dopuszczalnych poziomów pól elektromagnetycznych w środowisku.

### 3.2. Warunki środowiskowe:

Pomiary zostały wykonane przy wilgotności względnej powietrza i temperaturze otoczenia zgodnych ze specyfikacją techniczną miernika.

Tabela 2. Warunki środowiskowe.

| data         | godzina | pomiar     | warunki zewnętrzne-zjawiska atmosferyczne |       |             |        |                   |
|--------------|---------|------------|---|-------|-------------|--------|-------------------|
| 24.11.2023r. | 09:20   | początkowy | temperatura.:                             | 4,5°C | wilgotność: | 71,0 % | opady: bez opadów |
|              | 10:15   | końcowy    | temperatura.:                             | 4,5°C | wilgotność: | 71,0 % | opady: bez opadów |

### 3.3. Oszacowana niepewność pomiaru.

Laboratorium stwierdza iż dokonało oszacowania niepewności pomiaru, podczas szacowania niepewności wzięło pod uwagę istotne składowe niepewności, wykorzystując odpowiednie metody analizy.

Szacowanie niepewności całkowitej wyników badań ilościowych przeprowadzone zgodnie z normą PN-EN ISO/IEC 17025: 2018-02, normą PN-EN 62311 i dokumentem EA-04/16. Oszacowane wartości niepewności są niepewnościami rozszerzonymi przy poziomie ufności 95% i współczynnika rozszerzenia k=2. Podczas pomiarów wszystkie składowe budżety niepewności zostały zidentyfikowane i są zgodne z wymaganiami podstawowymi.

3.4. *Identyfikacja widma pola*: identyfikacji źródeł i parametrów technicznych dokonano na podstawie analizy dokumentacji dotyczącej zleceń oraz obserwacji miejsca wykonywania badań.

### 3.5. Aparatura pomiarowa.

|      |   |   |
|------|---|---|
| 1.   | miernik   |   |
|      | nazwa   | Uniwersalny, szerokopasmowy miernik natężenia pola elektromagnetycznego   |
|      | producent   | Narda Safety Test Solutions GmbH  |
|      | typ   | NBM-520   |
|      | numer fabryczny                                   | C-0460  |
| 2.   | sondy pomiarowe                                   |   |
|      | typ   | EF-6091   |
|      | numer fabryczny                                   | 01009   |
|      | zakres pomiaru pola elektromagnetycznego          | 0,50 [V/m] ÷ 300 [V/m]  |
|      | zakres częstotliwości zestawu pomiarowego         | 80 [MHz] ÷ 90 000 [MHz]   |
| 3.   | świadectwo wzorcowania                            |   |
| 3.1. | laboratorium wzorcujące                           | Laboratorium Wzorców i Metrologii Pola Elektromagnetycznego (LWiMP)<br>Politechnika Wrocławska, ul. Janiszewskiego 9, 50-372 Wrocław; Nr akredytacji AP 078 |
| 3.2. | numer świadectwa wzorcowania                      | LWiMP/W/184/23  |
| 3.3. | data wydania świadectwa wzorcowania               | 22 maja 2023 r.   |
| 3.4. | data ważności wzorcowania                         | 22 maja 2026 r.   |
| 4.   | bieżąca kontrola sprawności zestawu pomiarowego   | zgodnie z aktualnie obowiązującą instrukcją sprawdzania zestawu pomiarowego.  |
| 6.   | świadectwo pomiaru odporności elektromagnetycznej |   |
| 5.1. | laboratorium wykonujące pomiar                    | Laboratorium Wzorców i Metrologii Pola Elektromagnetycznego (LWiMP)<br>Politechnika Wrocławska, ul. Janiszewskiego 9, 50-372 Wrocław; Nr akredytacji AP 078 |
| 5.2. | numer świadectwa                                  | LWiMP/P/004/19  |
| 5.3. | data wydania świadectwa                           | 28 stycznia 2019 r.   |

## 4. PODSTAWA PRAWNA.

4.1. *Podstawa metodyki pomiarów*: Załącznik do Rozporządzenia Ministra Klimatu z dnia 17 lutego 2020 r. w sprawie sposobów sprawdzania dotrzymywania dopuszczalnych poziomów pól elektromagnetycznych w środowisku (Dz. U.2022 r., poz. 2630).

4.2. *Dopuszczalne poziomy pól elektromagnetycznych w środowisku*: Rozporządzenie Ministra Zdrowia z dnia 17 grudnia 2019 r. w sprawie dopuszczalnych poziomów pól elektromagnetycznych w środowisku (Dz. U. z 2019 r. poz. 2448).

4.3. Ustawa z dnia 16 kwietnia 2020 r. o szczególnych instrumentach wsparcia w związku z rozprzestrzenianiem się wirusa SARS-CoV-2 (Dz. U. 2020 poz. 695).

## 5. WYNIKI POMIARÓW.

Tabela 4. Zestawienie wyników pomiarów w pionach (punktach) pomiarowych.

| numer pionu (punktu) pomiarowego | opis miejsca pomiaru                       | Współrzędne geograficzne    | wartość skuteczna natężenia pola elektrycznego po zaokrągleniu z uwzględnieniem niepewności pomiarowej [V/m]* | wartość wyznaczona natężenia skutecznego pola magnetycznego po zaokrągleniu [A/m]** | wysokość pionu (punktu) pomiarowego [m] | wartość wskaźnikowa WM <sub>E</sub> | wartość wskaźnikowa WM <sub>H</sub> | uwagi<br>ocena zgodności względem dokumentu wskazanego w punkcie 11.2 sprawozdania oparta na zasadzie w punkcie 13 |
|----------------------------------|--|-----------------------------|---|---|---|-------------------------------------|-------------------------------------|--|
| 1                                | 2  | 3                           | 4   | 5   | 6                                       | 7                                   | 8                                   | 9  |
|                                  | Niepewności pomiarowa: 30,0%               |                             |   |   |   |                                     |                                     |  |
|                                  | Otoczenie badanego obiektu:                |                             |   |   |   |                                     |                                     |  |
|                                  | Główne oraz pomocnicze kierunki pomiarowe: |                             |   |   |   |                                     |                                     |  |
| 1                                | -  | N 50°19'51,1" E 18°55'0,9"  | 1,2   | 0,003   | 2,0                                     | 0,03                                | 0,03                                | zgodny   |
| 2                                | -  | N 50°19'53,8" E 18°55'1,2"  | 0,9   | 0,002   | 2,0                                     | 0,02                                | 0,02                                | zgodny   |
| 3                                | -  | N 50°19'55,7" E 18°55'0,3"  | 1,2   | 0,003   | 2,0                                     | 0,03                                | 0,03                                | zgodny   |
| 4                                | -  | N 50°19'45,7" E 18°55'12,5" | 1,7   | 0,004   | 2,0                                     | 0,04                                | 0,04                                | zgodny   |
| 5                                | -  | N 50°19'44,9" E 18°55'14,2" | 1,7   | 0,004   | 2,0                                     | 0,04                                | 0,04                                | zgodny   |
| 6                                | -  | N 50°19'43,3" E 18°55'0,8"  | 1,0   | 0,003   | 2,0                                     | 0,03                                | 0,03                                | zgodny   |
| 7                                | -  | N 50°19'44,6" E 18°54'47,9" | 1,3   | 0,003   | 2,0                                     | 0,03                                | 0,03                                | zgodny   |
| 8                                | -  | N 50°19'52,9" E 18°54'57"   | 1,0   | 0,003   | 2,0                                     | 0,03                                | 0,03                                | zgodny   |
| 9                                | -  | N 50°19'51,6" E 18°54'57,8" | 0,8   | 0,002   | 2,0                                     | 0,02                                | 0,02                                | zgodny   |
| 10                               | -  | N 50°19'54,6" E 18°55'11,4" | 1,2   | 0,003   | 2,0                                     | 0,03                                | 0,03                                | zgodny   |
| 11                               | -  | N 50°19'54,6" E 18°55'6,5"  | 1,3   | 0,003   | 2,0                                     | 0,03                                | 0,03                                | zgodny   |
| 12                               | -  | N 50°19'49,7" E 18°55'5"    | 1,2   | 0,003   | 2,0                                     | 0,03                                | 0,03                                | zgodny   |
| 13                               | -  | N 50°19'50,4" E 18°55'11,8" | 1,3   | 0,003   | 2,0                                     | 0,03                                | 0,03                                | zgodny   |
| 14                               | -  | N 50°19'44,6" E 18°55'8,7"  | 1,3   | 0,003   | 2,0                                     | 0,03                                | 0,03                                | zgodny   |

Tabela 4. Zestawienie wyników pomiarów w pionach (punktach) pomiarowych cd.

| 1 | 2  | 3                           | 4   | 5     | 6   | 7    | 8    | 9      |
|---|--|-----------------------------|-----|-------|-----|------|------|--------|
| - | 380 m od instalacji radiokomunikacyjnej na azymucie 120° | N 50°19'43,5" E 18°55'17,6" | 1,2 | 0,003 | 2,0 | 0,03 | 0,03 | zgodny |
| - | 380 m od instalacji radiokomunikacyjnej na azymucie 240° | N 50°19'43,6" E 18°54'45,2" | 1,0 | 0,003 | 2,0 | 0,03 | 0,03 | zgodny |

\*- wynik pomiaru powiększony o rozszerzoną niepewność pomiaru dla współczynnika rozszerzenia  $k=2$ .

\*\* - wartości podane w kolumnie 6 tabeli 4 są wartościami wyznaczonymi na podstawie zmierzonej wartości pola elektrycznego podanego w kolumnie 3 tej tabeli zgodnie z wzorem  $H=E/377$ .

\*\*\*- wynik wskazany przez miernik jest wartością poniżej dolnej granicy zakresu sondy, do obliczenia wyniku przyjęto wartość skorelowaną z rzeczywistym wynikiem pomiaru-dolną granicą akredytowanego zakresu sondy.

Pomiary pola-EM w środowisku w otoczeniu instalacji radiokomunikacyjnej będącej przedmiotem pomiarów przeprowadzono w miejscach podanych w tabeli nr 4. Pomiary wykonano w odległości nie mniejszej niż 0,3 m od urządzeń, obiektów i elementów metalowych. Rozkład pionów (punktów) pomiarowych przedstawiono w załączniku nr 2.

Wyboru głównych, pomocniczych oraz dodatkowych kierunków pomiarowych dokonano na podstawie analizy dokumentacji dostarczonej przez Zleceniodawcę, wizji lokalnej oraz doświadczenia osób wykonujących pomiary.

Pomiary wykonano w odległości, dla której, na podstawie uprzednio przeprowadzonych obliczeń, stwierdzono w miejscach dostępnych dla ludności występowanie pól elektromagnetycznych o najwyższym poziomie, które pochodzą z badanej instalacji.

W przypadku gdy wynik pomiaru uzyskany jako wartość wskazana przez miernik pola elektromagnetycznego jest wartością poniżej dolnej granicy zakresu pomiarowego miernika i poniżej dolnej granicy akredytowanego zakresu metody pomiarowej (zakresu pomiarowego metody w aktualnym zakresie akredytacji laboratorium) laboratorium przedstawia ten wynik w sprawozdaniu jako wynik spoza zakresu akredytacji, a do obliczenia wyniku skorygowanego przyjmuje wartość skorelowaną z rzeczywistym wynikiem pomiaru-dolną granicą akredytowanego zakresu pomiarowego metody.

## 6. STwierdzenie ZGODNOŚCI Z POZIOMAMI DOPUSZCZALNYMI ORAZ OMÓWIEŃ WYNIKÓW POMIARÓW.

6.1. Na podstawie wykonanych pomiarów w miejscach w których uzyskano dostęp, w pionach (punktach) pomiarowych stwierdza się dotrzymanie dopuszczalnych poziomów pól elektromagnetycznych w środowisku zgodnie z punktem 4.2. sprawozdania (wartości wskaźnikowe  $WM_E$  oraz  $WM_H$  nie przekraczają wartości 1).

Miejsca do których nie uzyskano dostępu i/lub nie uzyskano zgody na pomiar, z przyczyn niezależnych od Laboratorium nie podlegają ocenie zgodności.

Poziomy pole elektromagnetycznych w środowisku wyznaczono dla instalacji emitujących pola elektromagnetyczne wskazanych przez Zleceniodawcę względem najniższej wartości dopuszczalnej z danego zakresu częstotliwości i w odniesieniu do najwyższych zmierzonych wartości pól-EM.

Zmierzone wartości natężenia pola-EM pochodzą z zakresu częstotliwościowego sondy pomiarowej.

Pomiary poziomów pól elektromagnetycznych w środowisku w otoczeniu badanego obiektu wykonano podczas pracy wszystkich instalacji emitujących pola elektromagnetyczne w danym zakresie częstotliwości.

Stwierdzenie zgodności wyników z wymaganiami: **tak; zgodnie z dokumentem określonym w punkcie 4.2. sprawozdania.**

Zasada podejmowania decyzji: **określona w treści rozporządzenia Ministra Klimatu z dnia 17.02.2020 r.**

Ryzyko związane z tą zasadą: Zasada podejmowania decyzji została określona w powyższym dokumencie w związku z czym rozpatrywanie poziomu ryzyka nie jest konieczne.

Instalacja radiokomunikacyjna spełnia wymagania normatywu powołanego w punkcie 11.2. sprawozdania.

6.2. Zgodnie z art. 122a, ust. 1, pkt. 2 i 3, Ustawy z dnia 27 kwietnia 2001 Prawo Ochrony Środowiska (Dz.U. z 2020r. poz. 1219 z późn. zm.) ponowne pomiary kontrolne wykonuje się:

- każdorazowo w przypadku zmiany warunków pracy instalacji lub urządzenia, w tym zmiany spowodowanej zmianami warunków pracy instalacji lub urządzenia, o ile zmiany te mogą mieć wpływ na zmianę poziomów pól elektromagnetycznych, których źródłem jest instalacja lub urządzenia;
- każdorazowo w przypadku zmiany istniejącego stanu zagospodarowania i zabudowy nieruchomości skutkującej zmianami w występowaniu miejsc dostępnych dla ludności w otoczeniu instalacji lub urządzenia-na pisemny wniosek właściciela lub zarządcy nieruchomości, na której wystąpiła ta zmiana.

Otrzymują:

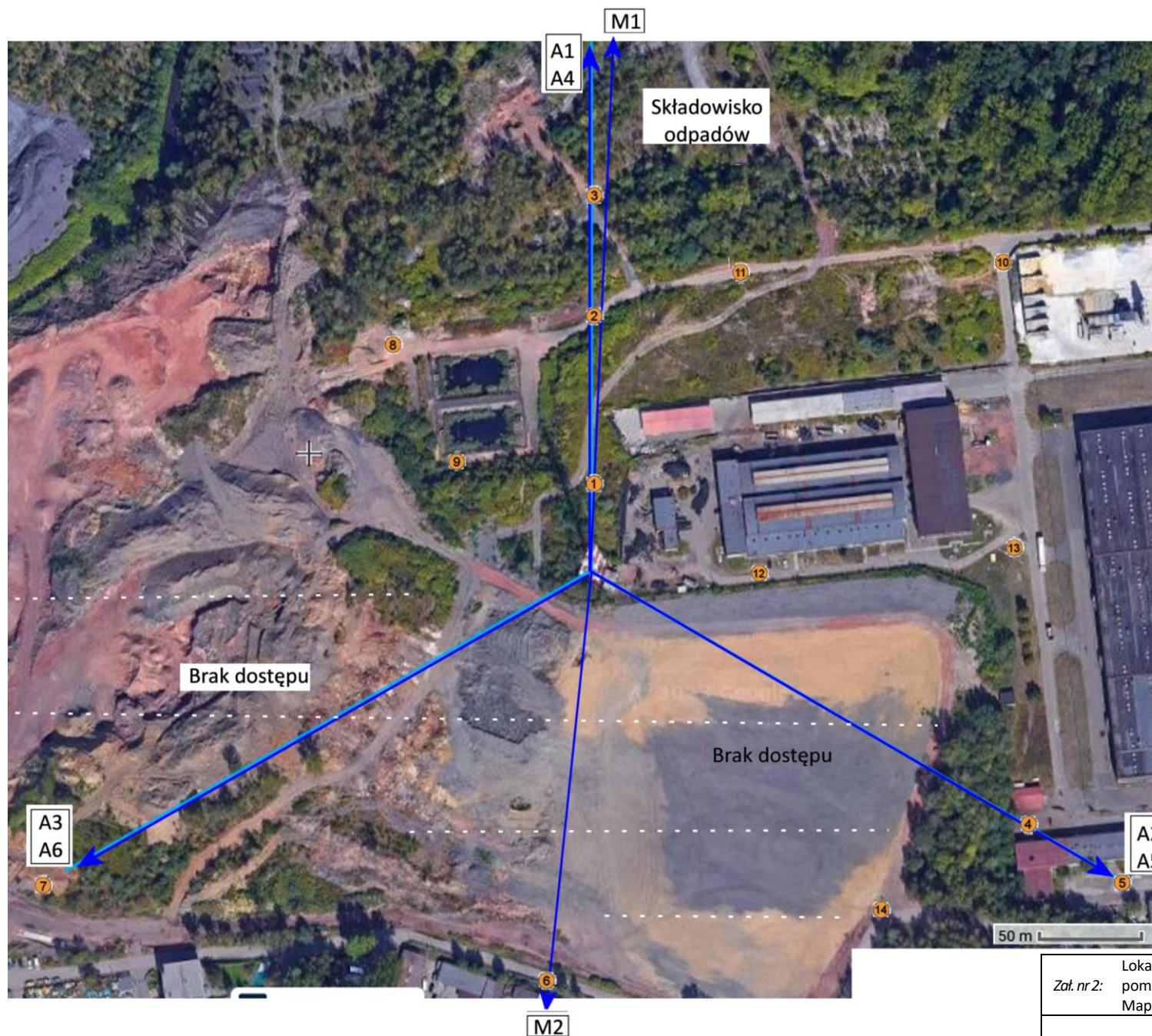
1 x Zleceniodawca (wersja elektroniczna)

1 x PP aa (wersja elektroniczna)

Koniec sprawozdania. Sprawozdanie zawiera dodatkowo załączniki nr 1 i 2.



*Zał. nr 1:* Widok ogólny instalacji radiokomunikacyjnej.



Azymuty anten

| Nr | anteny | azymuty[°] |
|----|--------|------------|
| A1 | 800    | 0          |
| A2 |        | 120        |
| A3 |        | 240        |
| A4 | 900    | 0          |
| A5 |        | 120        |
| A6 |        | 240        |
| M1 | MW     | 2          |
| M2 |        | 186        |

Załącznik nr 2: Lokalizacja anten oraz ich azymuty, lokalizacja pionów (punktów) pomiarowych wokół instalacji radiokomunikacyjnej.  
Mapa źródłowa: Geoportal.

● -punkt (pion)  
● -pomiarowy.